
Przybliżanie Okręgu

Pracownia 3.3

Antoni Tomaszewski

27 stycznia 2019

1 OPIS PROBLEMU

Tematem zadania jest konstrukcja algorytmu będącego w stanie wyznaczyć przybliżone równanie okręgu. Dowolny punkt na okręgu można wyznaczyć w zależności od kąta t , wtedy ma on współrzędne $(\cos(t), \sin(t))$.

Zadanie możemy więc potraktować jako problem obliczenia funkcji parametrycznej $f(t) \simeq (\cos(t), \sin(t))$. Zauważmy również, że $\cos(t) = \sin(t + \frac{\pi}{2})$, zatem wystarczy wyznaczyć przybliżenie *sinusa* a *cosinusa* można łatwo z niego obliczyć. W pracy zostaną przedstawione różne podejścia do wykonania tego zadania: za pomocą interpolacji Hermite'a, krzywych Beziera oraz naturalnej funkcji sklejaney.

Implementacja algorytmu została wykonana w języku Julia w pliku "program.jl". Funkcje pomocnicze zawarte są w pliku "funkcje.jl". Wykresy zostały wygenerowane korzystając z biblioteki "Plots". Do wygodnego używania wielomianów w splajnach użyta została biblioteka "Polynomials".

2 INTERPOLACJA HERMITE'A

2.1 WPROWADZENIE

Interpolacja Hermite'a jest to często używana metoda numeryczna służąca do znalezienia wielomianu przybliżającego mając dane wartości funkcji w n punktach oraz ich k pierwszych pochodnych (dla każdego punktu k może być różne oraz zakładamy że one istnieją). Metoda ta jest bardzo podobna do interpolacji Newtona z tym że u Newtona dla każdego punktu znana jest jedynie jego wartość a u Hermite'a znamy również pewną ilość pochodnych w tym punkcie. Interpolacja Hermite'a jest więc rozszerzeniem interpolacji Newtona.

Łatwo zauważyć że gdy nie znamy wartości w wielu punktach, ale za to znamy wiele wartości kolejnych pochodnych w tych punktach Hermite będzie bardzo wygodną i znacznie bardziej dokładną metodą niż Newton. Z tej obserwacji korzystać będzie pierwsza z metod służących konstrukcji okręgu.

2.2 ZASTOSOWANIE W KONSTRUKCJI OKRĘGU

Konstrukcja fragmentu łuku okręgu na przedziale $[-\alpha, \alpha]$ została opisana w artykule [1]. Punktami w których będziemy interpolować funkcję *cosinus* (oraz *sinus*) będą krańce przedziału, czyli α i $-\alpha$, chcąc osiągnąć stopień wielomianu $2n + 1$ będziemy potrzebować wartości n pierwszych pochodnych w tych punktach.

Główna idea stojąca za algorytmem w nim przedstawionym polega na tym, aby dokonać rozwinięcia w szereg Taylora w dwóch punktach : α i $-\alpha$.

$$f(x) = f(\alpha) + f'(\alpha)\frac{x-\alpha}{1!} + f''(\alpha)\frac{(x-\alpha)^2}{2!} + \dots \quad (2.1)$$

$$w_n(x) = f(\alpha) + f'(\alpha)\frac{x-\alpha}{1!} + f''(\alpha)\frac{(x-\alpha)^2}{2!} + \dots + f^{(n)}(\alpha)\frac{(x-\alpha)^n}{n!} \quad (2.2)$$

$$f(x) = f(-\alpha) + f'(-\alpha)\frac{x+\alpha}{1!} + f''(-\alpha)\frac{(x+\alpha)^2}{2!} + \dots \quad (2.3)$$

$$v_n(x) = f(-\alpha) + f'(-\alpha)\frac{x+\alpha}{1!} + f''(-\alpha)\frac{(x+\alpha)^2}{2!} + \dots + f^{(n)}(-\alpha)\frac{(x+\alpha)^n}{n!} \quad (2.4)$$

Następnie obliczyć wartości w punktach krańcowych tych funkcji oraz wartości pierwszych n pochodnych tych funkcji.

Chcemy więc, by zachodziły następujące równości:

$$\begin{aligned} w_n(\alpha) &= f(\alpha) \\ w'_n(\alpha) &= f'(\alpha) \\ &\dots \\ w_n^{(n)}(\alpha) &= f^{(n)}(\alpha) \end{aligned}$$

oraz

$$\begin{aligned} v_n(\alpha) &= f(\alpha) \\ v'_n(\alpha) &= f'(\alpha) \\ &\dots \\ v_n^{(n)}(\alpha) &= f^{(n)}(\alpha) \end{aligned}$$

Po przejściu przez stertę obliczeń otrzymujemy następujące wzory

$$C_{2n+1}(\alpha, t) = (\cos\alpha + 2 \sum_{k=1}^n x_k(t^2 - \alpha^2)^k, \frac{\sin\alpha}{\alpha}t + 2t \sum_{k=1}^n y_k(t^2 - \alpha^2)^k)$$

gdzie

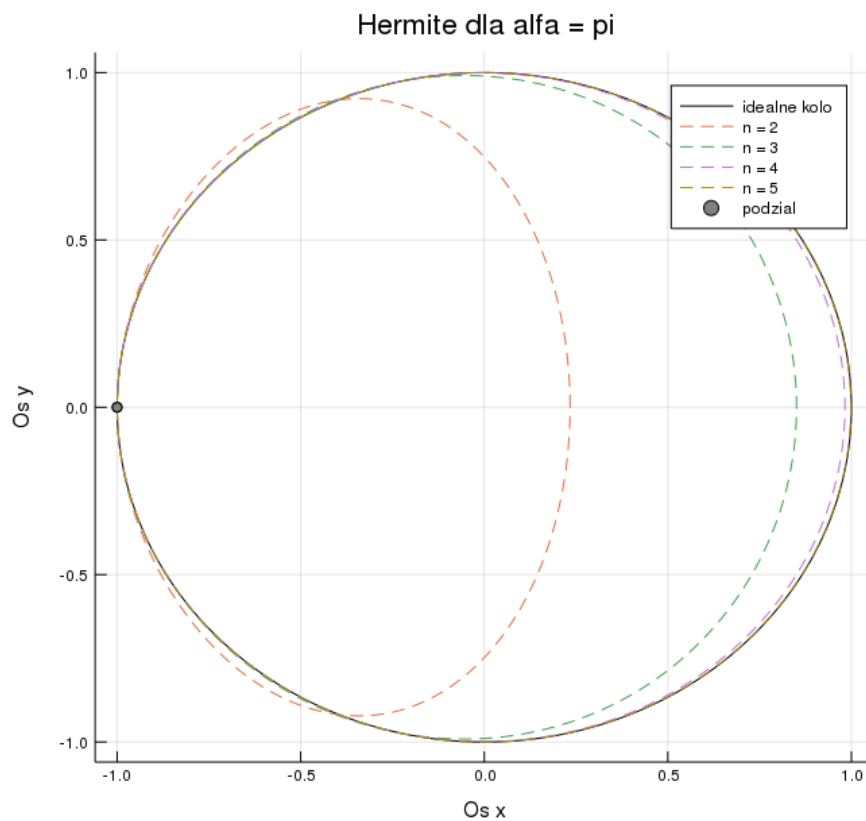
$$x_k = \frac{1}{k!} \sum_{i=0}^{k-1} \frac{(k+i-1)!}{i!(k-i-1)!} \frac{\cos(\frac{k+i}{2}\pi + \alpha)}{(2\alpha)^{k+i+1}}$$

oraz

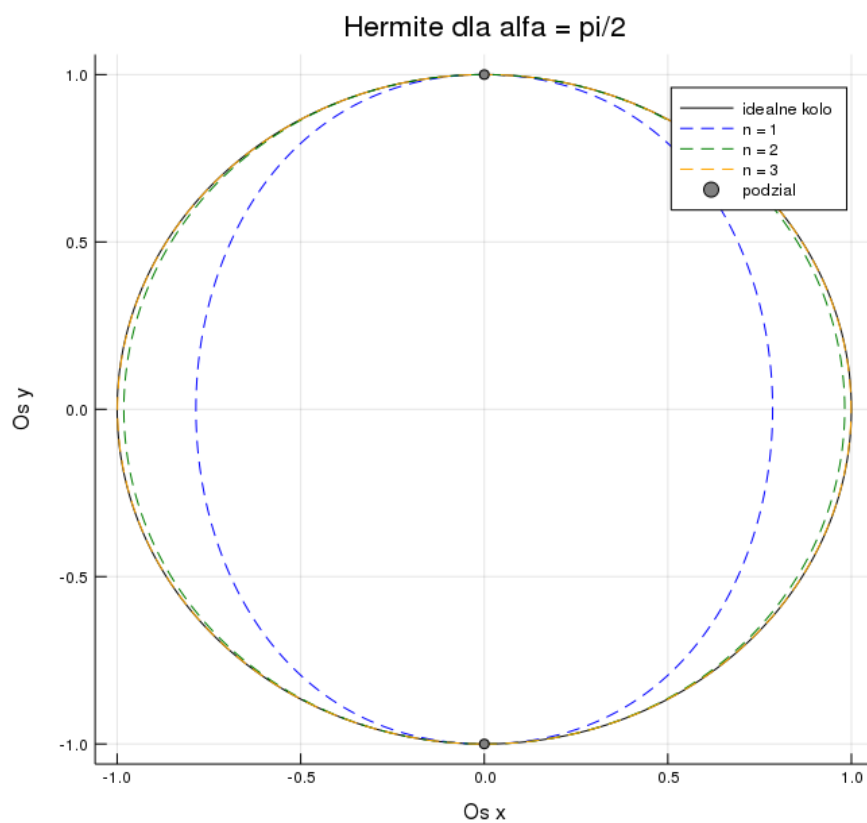
$$y_k = -2\alpha(k+1)x_{k+1}$$

Zauważmy, że mając fragment łuku postaci $[(x_1, y_1), (x_2, y_2), \dots, (x_k, y_k)]$ możemy odbić go względem prostej przechodzącej przez punkty (x_1, y_1) oraz $(0,0)$ i otrzymać tym sposobem dwukrotnie dłuższy łuk. Z tej obserwacji można skorzystać i uzyskać zadowalające wyniki dla niewielkich stopni wielomianów.

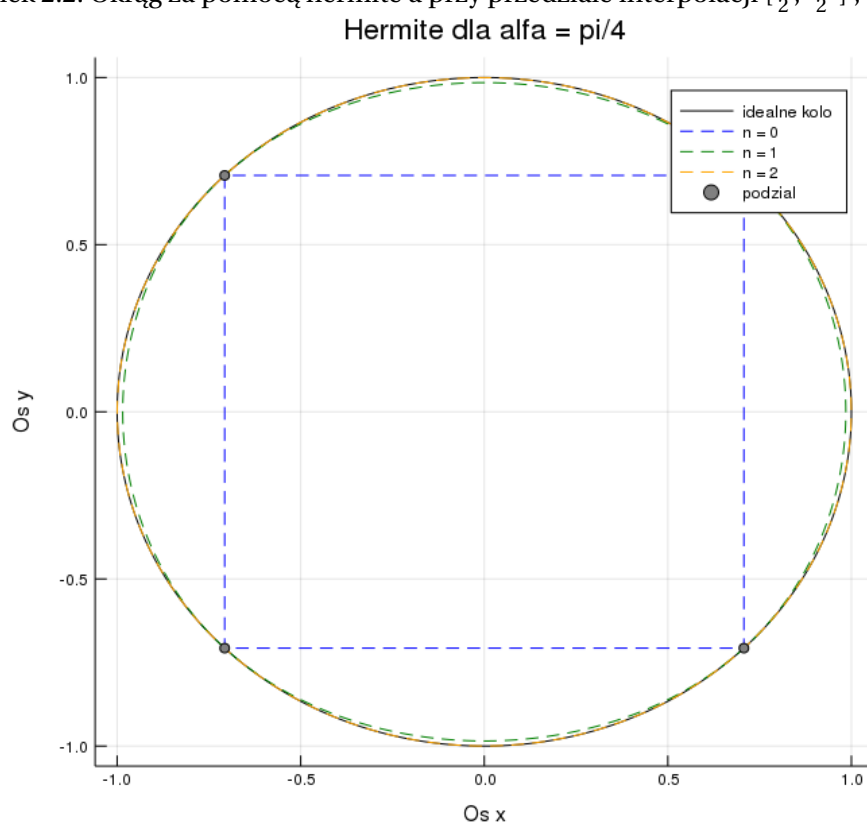
2.3 WYNIKI



Rysunek 2.1: Okrąg za pomocą hermite'a przy przedziale interpolacji $[\alpha, -\alpha]$, 0 odbić



Rysunek 2.2: Okrąg za pomocą hermite'a przy przedziale interpolacji $[\frac{\alpha}{2}, \frac{-\alpha}{2}]$, 1 odbicie



Rysunek 2.3: Okrąg za pomocą hermite'a przy przedziale interpolacji $[\frac{\alpha}{4}, \frac{-\alpha}{4}]$, 2 odbicia

Zauważmy, że na "oko" porównywalne wydają się wyniki kolejnych rysunków dla $n = 4$, $n = 2$, $n = 1$.

3 KRZYWE BEZIERA

3.1 WPROWADZENIE

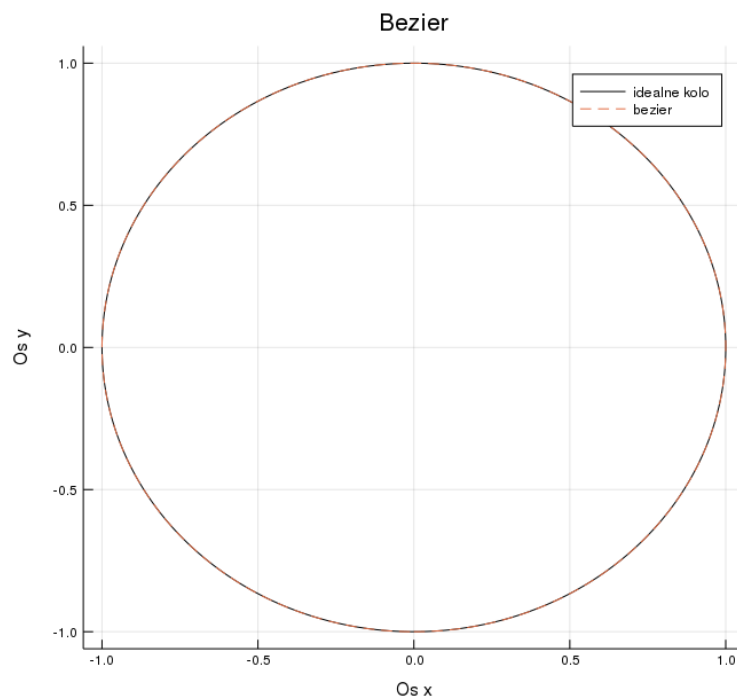
Krzywe Beziera to częsta i dosyć prosta technika wykorzystywana w grafice komputerowej. Polega na wybraniu $n + 1$ punktów (P_0, \dots, P_n) zwanymi punktami kontrolnymi. Funkcja wynikowa będzie przechodzić przez pierwszy i ostatni punkt oraz nie przechodzić przez żaden pozostały. Funkcja takiej krzywej dla dowolnej liczby punktów kontrolnych wyraża się wzorem

$$B(t) = (1-t)^n P_0 + \binom{n}{1} (1-t)^{n-1} t P_1 + \dots + \binom{n}{n-1} (1-t) t^{n-1} P_{n-1} + t^n P_n \quad (3.1)$$

Gdzie wyrażenie przy $k - tym$ punkcie (P_k) to $k - ty$ wielomian Bernsteina stopnia n .

3.2 ZASTOSOWANIE W KONSTRUKCJI OKRĘGU

Do wyznaczenia okręgu użyjemy wielomianu stopnia 3. W następujących punktach kontrolnych: $[(0, 1), (c, 1), (1, c), (0, 1)]$, gdzie $c = \frac{4}{3}(\sqrt{2} - 1)$. Wartość c można wyliczyć z wielomianu $B(t)$ dla punktu $(0.5, 0.5)$, który leży na tej krzywej.



Rysunek 3.1: Wykres okręgu uzyskanego za pomocą krzywych Beziera

4 NATURALNA FUNKCJA SKLEJANA

4.1 WPROWADZENIE

Splajn jest często wykorzystywaną i uniwersalną techniką interpolacji. Jest "odporny" na efekt Rungego oraz działa dla dowolnego wyboru punktów (zarówno równoodległych jak i nie). W miarę zwiększania ilości danych metoda ta staje się bardziej dokładna. Technika polega na stworzeniu, dla każdej pary sąsiednich punktów, wielomianu stopnia co najwyżej trzeciego, w taki sposób aby wykres był gładki oraz ciągły.

Mając $n+1$ punktów $(x_1, y_1), (x_2, y_2), \dots, (x_{n+1}, y_{n+1})$ chcemy na każdym z przedziałów $[x_k, x_{k+1}]$ skonstruować wielomian 3 st.

Niech

$$s_k(x) = A_k + B_k(x - x_k) + C_k(x - x_k)^2 + D_k(x - x_k)^3 \quad (4.1)$$

$$s'_k(x) = B_k + 2C_k(x - x_k) + 3D_k(x - x_k)^2 \quad (4.2)$$

$$s''_k(x) = 2C_k + 6D_k(x - x_k) \quad (4.3)$$

$$(4.4)$$

Chcemy więc mieć n funkcji i dla każdej z nich 4 warunki, co daje w sumie $4n$ warunków. $n+1$ punktów daje nam $2n$ warunków ($n-1$ podwójnych oraz dwa pojedyncze (brzegowe)). Żądamy również, aby pierwsze oraz drugie pochodne na krańcach przedziałów były sobie równe (kolejne $2(n-1)$ warunków).

$$s'_{k+1}(x_{k+1}) = s'_k(x_{k+1}) \quad (4.5)$$

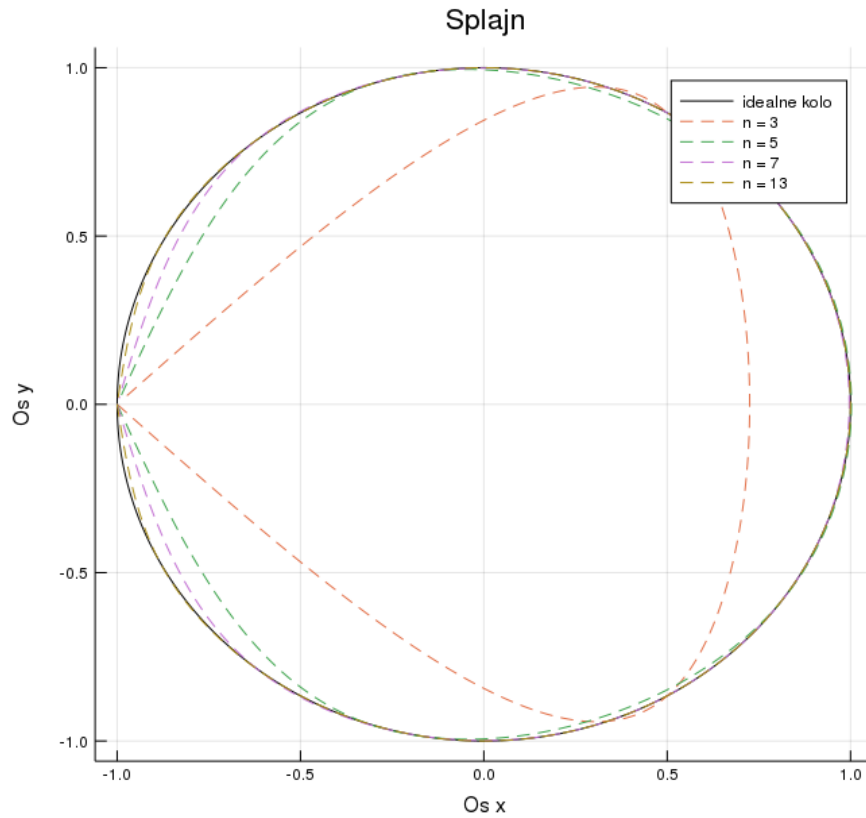
$$s''_{k+1}(x_{k+1}) = s''_k(x_{k+1}) \quad (4.6)$$

Brakuje nam jeszcze dwóch warunków, które zapewniamy sobie ustawiając wartości drugich pochodnych w punktach brzegowych na 0.

$$s''_1(x_1) = s''_n(x_{n+1}) = 0 \quad (4.7)$$

4.2 ZASTOSOWANIE W KONSTRUKCJI OKRĘGU

Użycie splajnów do tego zadania wydaje się sensownym pomysłem, ponieważ wraz z zwiększaniem ilości punktów wykres staje się coraz bardziej dokładny, czego nie gwarantują nam interpolacja Netwona ani interpolacja Lagrange'a.



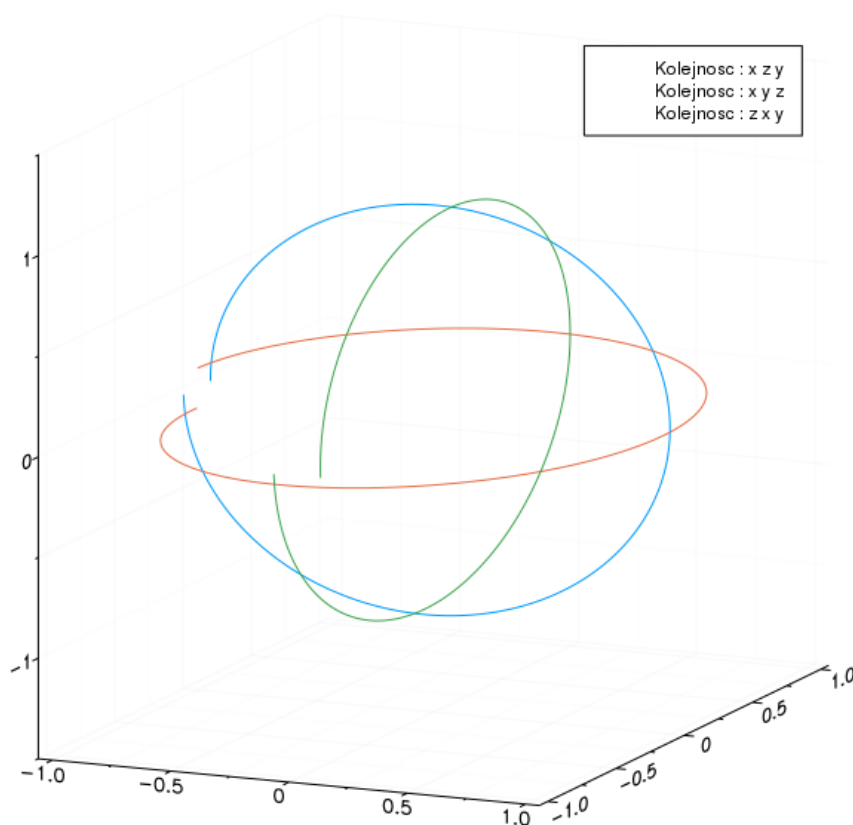
Rysunek 4.1: Wykres Splajna dla punktów równoodległych, gdzie n = liczba węzłów interpolacyjnych

5 HELISA

W artykule [1] jest opisane jak z wykresu koła uzyskać helisę. Możemy ją obliczyć korzystając z każdej z trzech wyżej opisanych metod, a jej dokładność będzie zależała jedynie od dokładności wcześniej obliczonego wykresu okręgu, dlatego można przy porównaniu tych metod ograniczyć się do zestawienia jedynie dokładności okręgów.

Helisę opisuje wzór: $H(\alpha, t) = (\cos t, \sin t, t)$, $t \in [-\pi, \pi]$

Helisa z rożnych perspektyw



Rysunek 5.1: Wykres Helisy za pomocą Hermite'a, różne widoki

6 PORÓWNANIE

Poniżej przedstawione są błędy, z których wynikają następujące własności:

Dla wielomianów stopnia 3 najmniejsze maksimum z błędów ma Bezier, równe 0.007. Wykorzystuje on 2 wielomiany sześciennne, więc używa 8 współczynników.

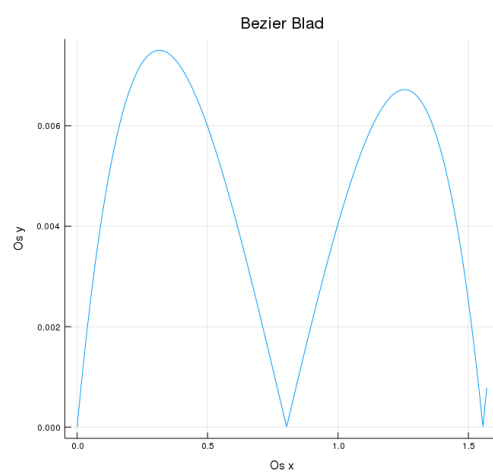
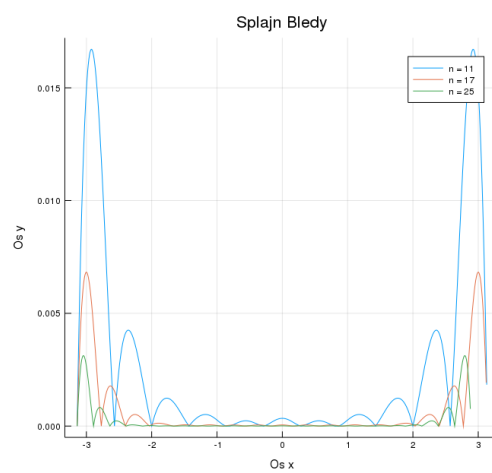
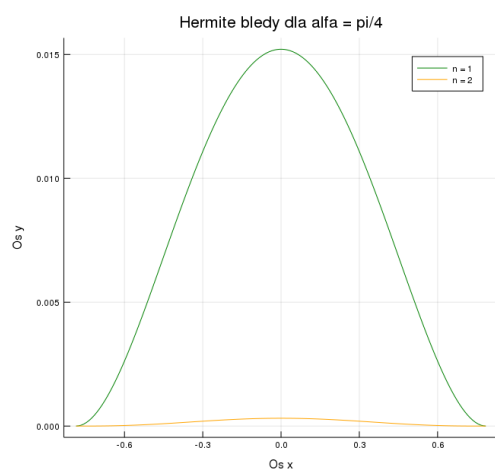
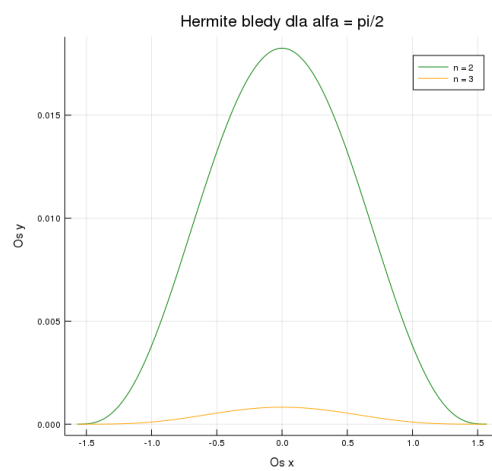
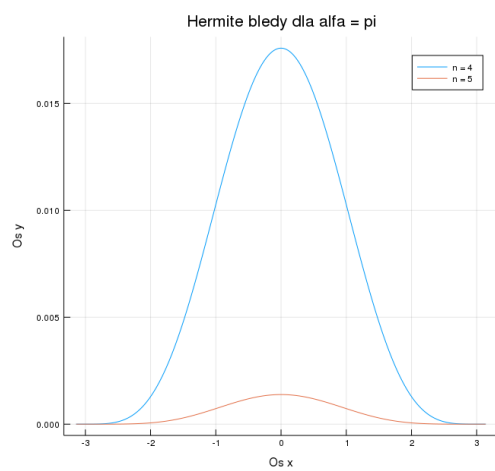
Maksimum błędów Hermite'a dla $\alpha = \frac{\pi}{4}$, $n = 1$ (czyli 2 wielomianów st. 3) wynosi 0.015, również 8 współczynników

Natomiast splajn osiąga porównywalne maksimum błędu co Bezier dla 17 funkcji sklepanych ($4 * 17 = 68$ współczynników).

Analizując Hermite'a i splajn, zauważymy że maksimum najgorszego z Hermite'ów czyli $\alpha = \pi$, $n = 4$ jest porównywalne z splajnem dla $n = 11$.

20 współczynników u Hermite'a przeciw 44 w splajnach.

Patrząc wyłącznie na wyniki w splajnach widzimy, że chociaż na większości przedziału błąd jest niewielki, to jednak na krańcach zawsze osiąga całkiem duże wartości.



7 WNIOSKI

Wybranie odpowiedniej metody powinno zależeć od problemu, jaki mamy rozwiązać. Krzywe Beziera oraz naturalne funkcje sklejane są metodami bardziej ogólnymi niż algorytm opisany w [1], nie powinno stanowić więc zaskoczenia, że radzą sobie one z przybliżeniem okręgu gorzej niż sposób do tego jedynie dedykowany. Jeśli chcielibyśmy użyć jak najmniej danych należałoby skorzystać z krzywych Beziera. Jednak w sytuacji, gdy priorytetem jest precyzja istnieje lepsze rozwiązanie. Jest nim metoda zawarta w artykule [1]. Używa mniej danych, a błąd ma istotnie mniejszy oraz bardziej stabilny niż splajn oraz Bezier.

LITERATURA

- [1] Lizheng Lu *On polynomial approximation of circular arcs and helices*,
Department of Mathematics,
Zhejiang Gongshang University,
2011
- [2] J.L.López, N.M.Temme, *Two-point Taylor expansions of analytic functions*,
Studies in Applied Mathematics
2002
str. 297-311